

自発的部分的に破れた $\mathcal{N}=2$ 超対称性による

Dijkgraaf-Vafa 関係式の変形

丸吉一暢 大阪市立大学

based on arXiv:0704.1060 [hep-th] (to appear in Phys. Lett. B)

by Hiroshi Itoyama and K.M.

Contents

1. Introduction
2. 自発的に破れた $\mathcal{N}=2$ 超対称性を持つ $\mathcal{N}=2$, $U(N)$ ゲージ模型
3. Dijkgraaf-Vafa 関係式の変形
4. Conclusion

1. Introduction

Super Yang-Mills 理論 (SYM) は holomorphic な量をもっている。

$$\left\{ \begin{array}{l} \mathcal{N} = 1 \text{ SYM: } \text{superpotential} \\ \mathcal{N} = 2 \text{ SYM: } \text{prepotential} \end{array} \right.$$

Holomorphy によって、これらの低エネルギーでの形も制限される。

(例えば、Seiberg と Witten による $\mathcal{N}=2$ SYM の厳密解など)

以下では、低エネルギー effective superpotential を考える。

Dijkgraaf-Vafa relation

[Dijkgraaf-Vafa '02]

$$W_{\text{eff}}(S) = N \frac{\partial}{\partial S} \underline{F_{\text{free}}(S)}$$

effective superpotential

planar free energy

$\mathcal{N} = 1$, U(N) super Yang-Mills
+
 $W_{\text{tree}}(\Phi)$

matrix model with the
action: $-\frac{1}{g_s} W_{\text{matrix}}(M)$

$$\left(\begin{array}{l} W_{\text{tree}}(\Phi) = \sum_{k=1}^{n+1} \frac{g_k}{k} \text{Tr} \Phi^k \\ W_{\text{matrix}}(M) = \sum_{k=1}^{n+1} \frac{g_k}{k} \text{Tr} M^k \end{array} \right)$$

glueball superfield
 $S = -\frac{1}{64\pi^2} \text{Tr}_{\text{U}(N)} \mathcal{W}^\alpha \mathcal{W}_\alpha$

$$\mathcal{N} = 1, \text{U(N) SYM} + W_{\text{tree}}(\Phi)$$

is considered as

$$\mathcal{N} = 2, \text{U(N) SYM} + W_{\text{tree}}(\Phi)$$

matter content は同じ

$\mathcal{N} = 2$ の情報

- $\mathcal{N} = 2$ Seiberg-Witten curve
[Cachazo-Intriligator-Vafa, Cachazo-Vafa]
- fermionic shift symmetry
[Cachazo-Douglas-Seiberg-Witten]
- etc.

この superpotential は explicitly (もしくは softly) に超対称性を $\mathcal{N}=1$ に破る。



- 超対称性の破れが自発的であった場合には何が起こるか？
- Dijkgraaf-Vafa 関係式は形を変えるか？

$$W_{\text{eff}}(S) = N \frac{\partial}{\partial S} F_{\text{free}}(S)$$

???

2. 自発的に破れた $\mathcal{N}=2$ 超対称性を持つ $\mathcal{N}=2$, U(N) ゲージ模型

$\mathcal{N} = 1$ superspace formalism [hep-th/0409060, 0503113]

$\mathcal{N} = 2$ harmonic superspace formalism [hep-th/0510255]

by Fujiwara, Itoyama and Sakaguchi

以下では $\mathcal{N}=1$ superspace formalism で、 $\mathcal{N}=2$ U(N) ゲージ模型を構成する。

$$\left\{ \begin{array}{ll} \text{U(N) vector superfield} & V^a = (A_\mu^a, \lambda^a) \\ \text{U(N) adjoint chiral superfield} & \Phi^a = (\phi^a, \psi^a) \end{array} \right.$$

gauge index: $a = 0, 1, \dots, N^2 - 1$

↑
overall U(1)

U(N) ゲージ対称性を持つ一般的な作用は、以下の項からなる。

➤ Kaehler term

$$S_K = \frac{-i}{2} \int d^4x d^4\theta \text{Tr} \left(\bar{\Phi} e^{adV} \frac{\partial \mathcal{F}(\Phi)}{\partial \Phi} \right) + h.c.,$$

prepotential
↓

➤ gauge kinetic term

$$S_{\text{gauge}} = \frac{-i}{4} \int d^4x d^2\theta \tau_{ab}(\Phi) \mathcal{W}^a \mathcal{W}^b + h.c.,$$

➤ superpotential

function of Φ
↑

$$S_W = \int d^4x d^2\theta \text{Tr} W(\Phi) + h.c.,$$

Discrete R 変換に対して、不変であることを要求すると

$$R : \lambda_I^a \equiv \begin{pmatrix} \lambda^a \\ \psi^a \end{pmatrix} \rightarrow \begin{pmatrix} \psi^a \\ -\lambda^a \end{pmatrix},$$

generalized gauge coupling $\tau_{ab}(\Phi)$ や superpotential は

$$\tau_{ab}(\Phi) = \frac{\partial^2 \mathcal{F}(\Phi)}{\partial \Phi^a \partial \Phi^b}, \quad W(\Phi) = e\Phi^0 + m \frac{\partial \mathcal{F}(\Phi)}{\partial \Phi^0}.$$

➤ Fayet-Iliopoulos D-term

$$S_D = \int d^4x d^4\theta \xi V^0$$

e, m, ξ : real parameters FI 変数

よって、 $\mathcal{N}=2$ 超対称性を持った作用は

$$S = \int d^4x d^4\theta \left[\frac{-i}{2} \text{Tr} \left(\bar{\Phi} e^{adV} \frac{\partial \mathcal{F}(\Phi)}{\partial \Phi} - h.c. \right) + \xi V^0 \right] \\ + \int d^4x d^2\theta \left(-\frac{i}{4} \frac{\partial^2 \mathcal{F}(\Phi)}{\partial \Phi^a \partial \Phi^b} \mathcal{W}^a \mathcal{W}^b + e \Phi^0 + m \frac{\partial \mathcal{F}(\Phi)}{\partial \Phi^0} \right) + h.c.$$


ここからは、prepotential を以下のようにとる。

$$\mathcal{F}(\Phi) = \sum_{k=0}^{n+1} \frac{g_k}{(k+1)!} \text{Tr} \Phi^{k+1}$$

Scalar potential

$$V = g^{ab} \left(\frac{1}{8} \mathcal{D}_a \mathcal{D}_b + \xi^2 \delta_a^0 \delta_b^0 + \partial_a \left(e \phi^0 + m \frac{\partial \mathcal{F}(\phi)}{\partial \phi^0} \right) \partial_{b^*} \left(e \phi^0 + m \frac{\partial \mathcal{F}(\phi)}{\partial \phi^0} \right)^* \right)$$

真空の条件: $\frac{\partial V}{\partial \phi^a} = 0$

 $\left\langle \frac{\partial^2 \mathcal{F}}{\partial \phi^0 \partial \phi^0} \right\rangle = - \left(\frac{e}{m} + i \frac{\xi}{m} \right)$

この条件により、スカラー場 ϕ の真空期待値が決まり、ゲージ対称性は

$$U(N) \rightarrow \prod_{i=1}^n U(N_i)$$

フェルミオンの超対称変換の真空での値は

$$\langle \delta \lambda^{+a} \rangle \equiv \left\langle \delta \left(\frac{\lambda^a + \psi^a}{\sqrt{2}} \right) \right\rangle = 0$$

$$\langle \delta \lambda^{-a} \rangle \equiv \left\langle \delta \left(\frac{\lambda^a - \psi^a}{\sqrt{2}} \right) \right\rangle = -2im(\eta_1 - \eta_2)\delta_0^a$$

Nambu-Goldstone fermion !




Mass spectrum

- ◆ $\mathcal{N} = 1$ massless $\prod_{i=1}^n U(N_i)$ vector multiplets: $V^a = (A_\mu^a, \lambda^{-a})$
- ◆ $\mathcal{N} = 1$ massive $\prod_{i=1}^n U(N_i)$ adjoint chiral multiplets: $\tilde{\Phi}^a = (\tilde{\phi}^a, \lambda^{+a})$
- ◆ $\mathcal{N} = 1$ massive vector multiplets corresponding to broken generators

Comment

FI変数の $e, m, \xi \rightarrow \infty$ の極限を考えると

 $\mathcal{N} = 1 \text{ SYM} + W_{\text{tree}}(\Phi)$

つまり、Dijkgraaf-Vafa などによって考えられたモデルは、自発的に破れた超対称性をもつモデルの一つの極限として得られる。

この時、Nambu-Goldstone fermion は decouple する。

[K. Fujiwara '06]

3. Dijkgraaf-Vafa 関係式の変形

[H. Itoyama and K. M. arXiv:0704.1060 [hep-th]]

質量を持った場 Φ を積分して得られる effective superpotential を求める:

$$\exp \left[i \int d^4x (d^2\theta W_{\text{eff}} + h.c. + d^4\theta (\text{nonchiral terms})) \right] = \int \mathcal{D}\Phi \mathcal{D}\bar{\Phi} e^{iS}.$$

W (or V) を背景場として、effective superpotential をこの量で書き表す。

$$\longrightarrow W_{\text{eff}}(S), \quad S \equiv -\frac{1}{64\pi^2} \text{Tr}_{\text{U}(N)} \mathcal{W}^\alpha \mathcal{W}_\alpha$$

Holomorphy により、effective superpotential は anti-holomorphic coupling 依存しない。よって、 $\bar{g}_k = 0$ for $k \geq 3$ とすると

$$S = \int d^4x d^4\theta \frac{-i}{2} \text{Tr} \left[\bar{\Phi} e^{adV} \frac{\partial \mathcal{F}(\Phi)}{\partial \Phi} - (\bar{g}_1 \bar{\Phi} + \frac{\bar{g}_2}{2} \bar{\Phi}^2) e^{adV} \Phi \right] + \int d^4x d^2\bar{\theta} \frac{m\bar{g}_2}{2} \text{Tr} \bar{\Phi}^2$$

$$+ \int d^4x d^2\theta \text{Tr} \left[m \sum_{k=2}^{n+1} \frac{g_k}{k!} \Phi^k - \frac{i}{4} \sum_{k=2}^{n+1} \sum_{s=0}^{k-1} \frac{g_k}{k!} (\mathcal{W}\Phi^s \mathcal{W}\Phi^{k-1-s}) \right].$$

$\bar{\Phi}$ を積分すると、

$$S = \int d^4x d^2\theta \text{Tr} \left[m \sum_{k=2}^{n+1} \frac{g_k}{k!} \Phi^k - \frac{i}{4} \sum_{k=2}^{n+1} \sum_{s=0}^{k-1} \frac{g_k}{k!} (\mathcal{W}\Phi^s \mathcal{W}\Phi^{k-1-s}) \right]$$

$$+ \int d^4x d^2\theta \text{Tr} \left[-\frac{(\text{Im}g_1)^2}{32m\bar{g}_2} \Phi \bar{\nabla}^2 \nabla^2 \Phi + \dots \right].$$

higher order in $1/m$

◆ 2次の項

$$(\bar{\nabla}^2 \nabla^2 \Phi = 16(\partial^\mu \partial_\mu \Phi - \frac{1}{2} ad\mathcal{W}^\alpha D_\alpha \Phi))$$

$$\frac{1}{2} \Phi \left(-\partial^\mu \partial_\mu + \frac{1}{2} ad\mathcal{W}^\alpha D_\alpha + m' - ig'_3 \mathcal{W}\mathcal{W} \right) \Phi$$

Propagator

$$\Delta(p, \pi) = \int_0^\infty ds e^{-s(p^2 + m' + \frac{1}{2} ad\mathcal{W}^\alpha \pi_\alpha - ig'_3 \mathcal{W}\mathcal{W})}$$

◆ 相互作用項

$$\frac{mg_k}{k!} \text{Tr} \Phi^k \quad \text{for } k = 3, \dots, n+1$$

$$-\frac{i}{4} \sum_{s=0}^{k-1} \frac{g_k}{k!} (\mathcal{W}\Phi^s \mathcal{W}\Phi^{k-1-s}) \quad \text{for } k = 4, \dots, n+1$$

Dijkgraaf-Vafa によって考えられた模型の場合

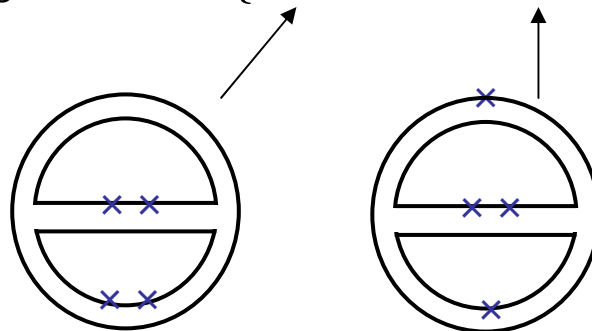
● propagator $\Delta(p, \pi) = \int_0^\infty ds e^{-s(p^2 + m' + \frac{1}{2}ad\mathcal{W}^\alpha\pi_\alpha)}$
 ● vertices $\frac{mg_k}{k!} \text{Tr}\Phi^k$ for $k = 3, \dots, n + 1$
 $\left(e^{-\frac{s}{2}ad\mathcal{W}^\alpha\pi_\alpha} = 1 - \frac{s}{2}ad\mathcal{W}^\alpha\pi_\alpha + \frac{s^2}{8}(ad\mathcal{W}^\alpha\pi_\alpha)^2 \right)$

2-loop diagram

$$(S = -\frac{1}{64\pi^2} \text{Tr}_{\text{U}(N)} \mathcal{W}^\alpha \mathcal{W}_\alpha, w^\alpha = \frac{1}{8\pi} \text{Tr}_{\text{U}(N)} \mathcal{W}^\alpha)$$

$$\int \frac{d^4 p_1}{(2\pi)^4} \frac{d^4 p_2}{(2\pi)^4} d^2 \pi_1 d^2 \pi_2 \Delta(p_1, \pi_1) \Delta(p_2, \pi_2) \Delta(-p_1 - p_2, -\pi_1 - \pi_2)$$

$$= \int ds_1 ds_2 ds_3 e^{-(\sum s_i)m'} \{3NS^2 + 6Sw^\alpha w_\alpha\}$$



× : insertion of \mathcal{W}

ℓ -loop diagrams では

$$\left(\prod_{i=1}^{\ell+1} \int ds_i \right) e^{-(\sum s_i)m'} \{(\ell+1)NS^\ell + \ell(\ell+1)S^{\ell-1}w^\alpha w_\alpha\}$$

W_{eff} に対する ℓ -loop の寄与 $W_{\text{eff}}^{(\ell)}(S)$ は

$$W_{\text{eff}}^{(\ell)}(S) = N \frac{\partial}{\partial S} \mathcal{F}^{(\ell)}(S) + \left(\frac{\partial^2}{\partial S^2} \mathcal{F}^{(\ell)}(S) \right) w^\alpha w_\alpha$$

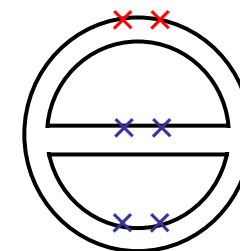
この $\mathcal{F}^{(\ell)}(S)$ は行列模型からも計算できる。(Dijkgraaf-Vafa の関係)

$$\mathcal{F}^{(\ell)}(S) = F_{\text{Free}}^{(\ell)}(S)$$

自発的に破れた超対称性を持つ模型の場合

$$\Delta(p, \pi) = \int_0^\infty ds e^{-s(p^2 + m' + \frac{1}{2}adW^\alpha\pi_\alpha)} e^{ig'_3 WW}$$

2-loop diagram



$$\int \frac{d^4 p_1}{(2\pi)^4} \frac{d^4 p_2}{(2\pi)^4} d^2 \pi_1 d^2 \pi_2$$

$$\Delta(p_1, \pi_1) \Delta(p_2, \pi_2) \Delta(-p_1 - p_2, -\pi_1 - \pi_2)$$

$$= \int ds_1 ds_2 ds_3 e^{-(\sum s_i)m'} \{3NS^2 + 6Sw^\alpha w_\alpha - ig'_3(\sum s_i)S^3\}$$

結局

$$W_{eff}^{(\ell)} = N \frac{\partial \mathcal{F}^{(\ell)}}{\partial S} + \frac{\partial^2 \mathcal{F}^{(\ell)}}{\partial S^2} w^\alpha w_\alpha - \frac{16\pi^2 img_3}{mg_2} \left(\frac{\partial \mathcal{F}^{(\ell)}}{\partial S} \right) \frac{S}{m} + \dots + \mathcal{O}((1/m)^2)$$

4. Conclusion

- 自発的に破れた $\mathcal{N}=2$ 超対称性を持つ $U(N)$ ゲージ模型の effective superpotential を計算した。

- effective superpotential は自発的に破れた超対称性によって影響を受けている。

$$W_{eff}^{(\ell)} = N \frac{\partial \mathcal{F}^{(\ell)}}{\partial S} + \frac{\partial^2 \mathcal{F}^{(\ell)}}{\partial S^2} w^\alpha w_\alpha - \frac{16\pi^2 i m g_3}{m g_2} \left(\frac{\partial \mathcal{F}^{(\ell)}}{\partial S} \right) \frac{S}{m} + \dots$$

- Dijkgraaf-Vafa の関係は自発的に破れた超対称性によって、変形されることがわかった。

Future works

- $\mathcal{N} = 2$ Seiberg-Witten curve
- relation to superstring theory
 - ◆ D-brane realization of the model considered above
 - ◆ geometric transition
 - ◆ flux induced superpotential
- include fundamental hypermultiplets